

# Électronique Analogique

Notes de cours<sup>a</sup>

Parcours : LAGE-EI

2019-2020

Semestre : 3

a. <https://github.com/a-mhamdi/iset-bizerte/raw/master/elect-ana/tb-elect-ana.pdf>

**Abdelbacet Mhamdi**

Dr.-Ing. en GE – Technologie en GE

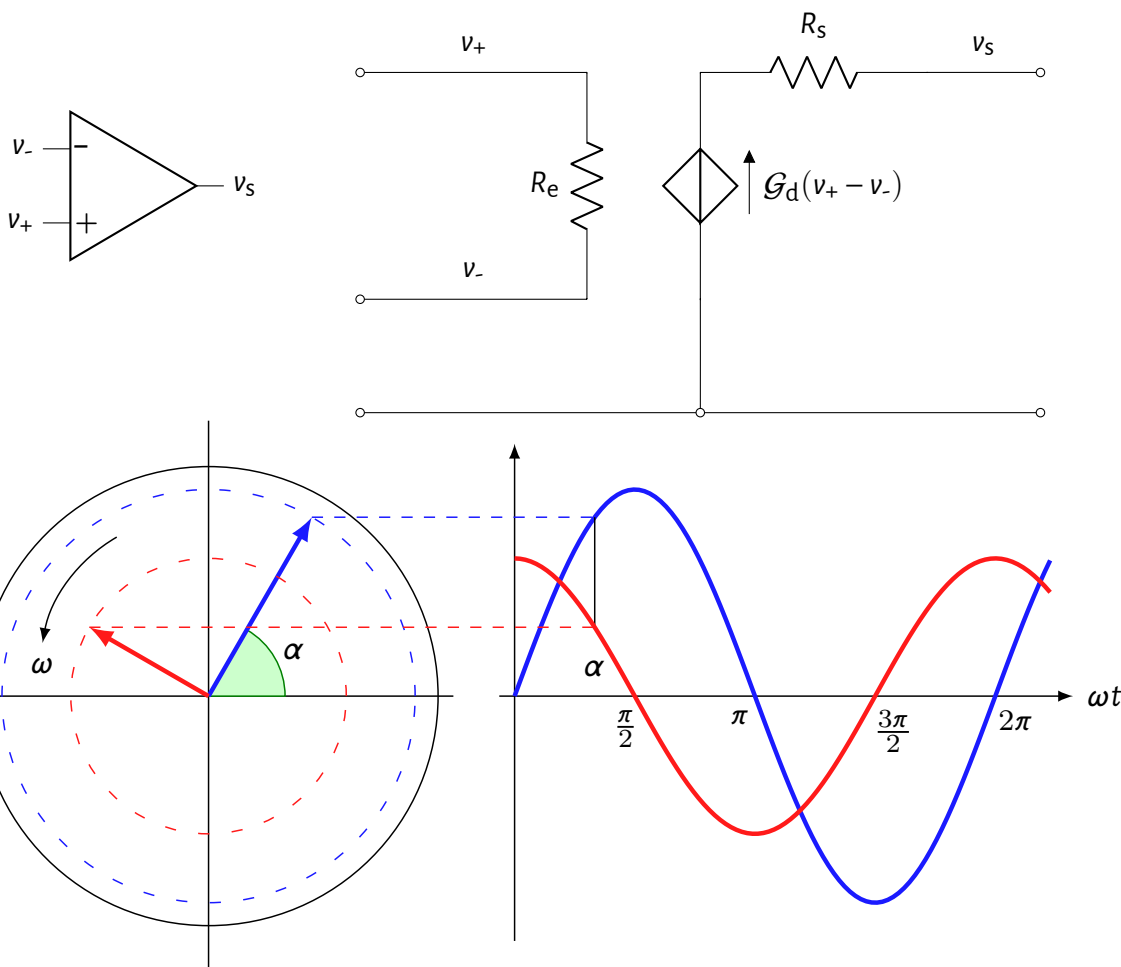
$\Sigma$

$\int$

$\frac{d}{dt}$

$\omega$

$\int$

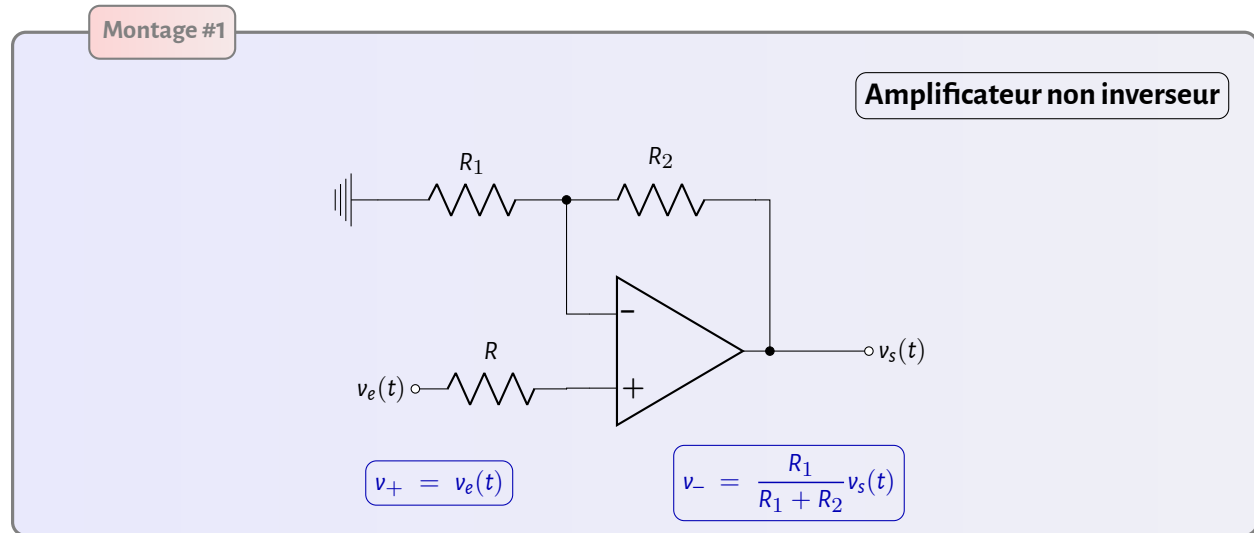


Dépt. GE - Institut Supérieur des Études Technologiques de Bizerte



## 1 Mise en situation

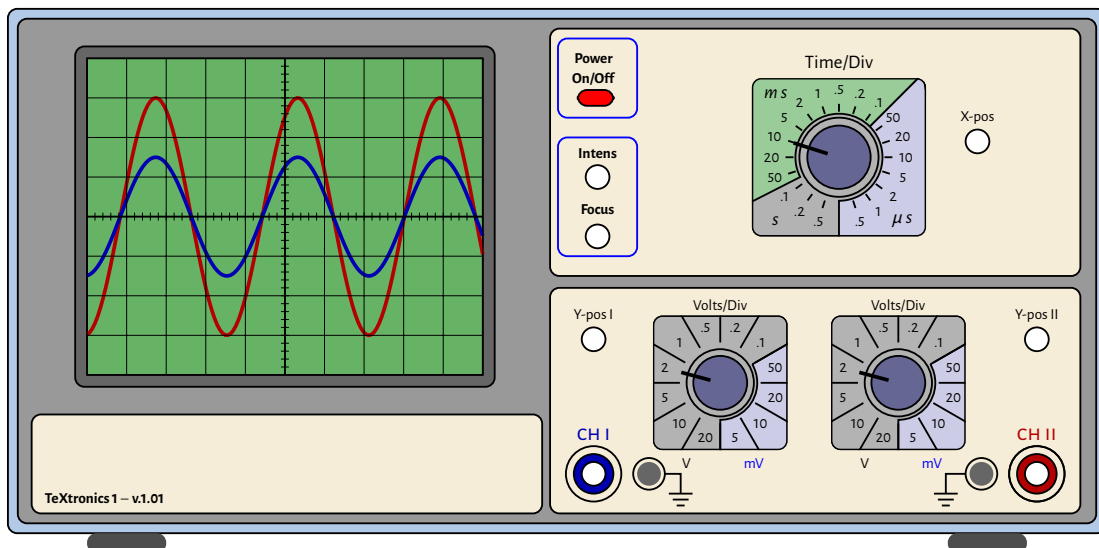
## 2 AOp en régime linéaire



AOp idéal en régime linéaire  $\rightarrow v_+ = v_-$ . La tension de sortie  $v_s$  s'écrit alors :

$$v_s(t) = \frac{R_1 + R_2}{R_1} v_e(t) \quad (1)$$

Pour une tension d'alimentation symétrique de  $\pm 10$  volts, les courbes d'évolution de l'entrée  $v_e$  et de la sortie  $v_s$  sont affichées sur l'écran de l'oscilloscope ci-dessous <sup>1</sup>



Déterminer les expressions des signaux  $v_e$  et  $v_s$ . En déduire le gain d'amplification qu'on note  $g = \frac{V_{s_{\max}}}{V_{e_{\max}}}$ .

1. La tension  $v_e$  (resp.  $v_s$ ) est connectée au canal CH I (resp. CH II).

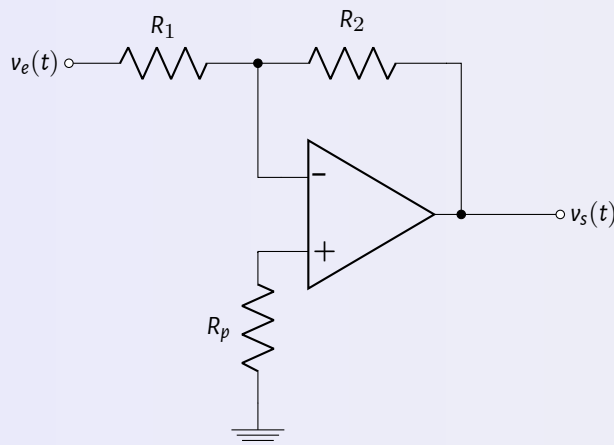


$$v_e(t) = V_{e_{\max}} \sin\left(\frac{2\pi}{T}t + \varphi_0\right) \quad \& \quad v_s(t) = V_{s_{\max}} \sin\left(\frac{2\pi}{T}t + \varphi_0\right) \quad \text{avec:} \quad \begin{cases} V_{e_{\max}} = 3 \text{ volts} \\ V_{s_{\max}} = 6 \text{ volts} \\ T = 18 \text{ msec} \\ \varphi_0 \approx 1 \text{ rad} \end{cases}$$

$$g = 2$$

Montage #2

Amplificateur inverseur



$$v_+ = 0$$

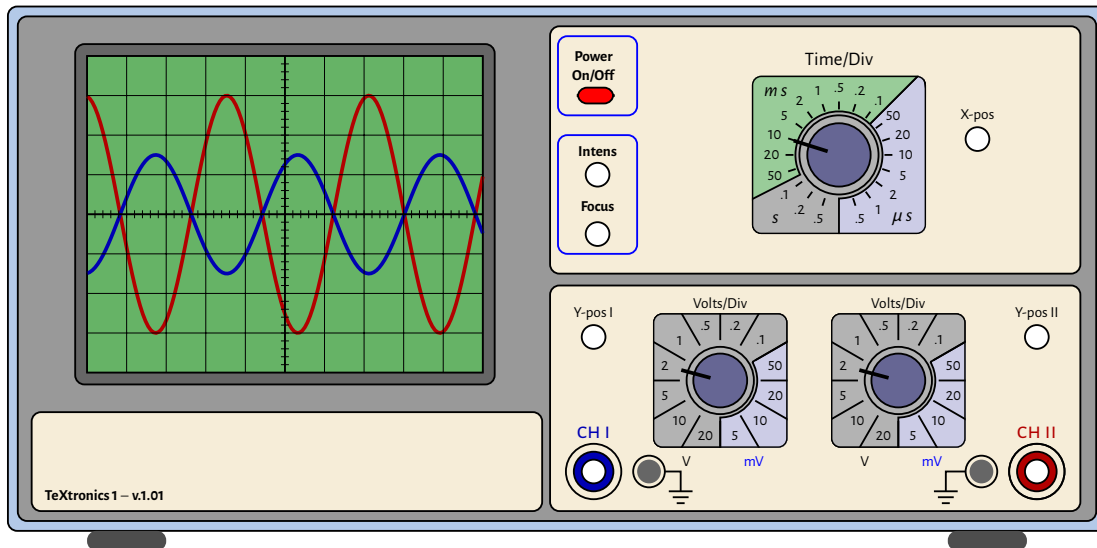
$$v_- = \frac{\frac{v_e}{R_1} + \frac{v_s}{R_2}}{\frac{1}{R_1} + \frac{1}{R_2}}$$

AOp idéal en régime linéaire  $\rightarrow v_+ = v_-$ . La tension de sortie  $v_s$  s'écrit alors :

$$v_s(t) = -\frac{R_2}{R_1} v_e(t) \quad (2)$$

Pour une tension d'alimentation symétrique de  $\pm 10$  volts, les courbes d'évolution de l'entrée  $v_e$  et de la sortie  $v_s$  sont affichées sur l'écran de l'oscilloscope ci-dessous <sup>2</sup>

2. La tension  $v_e$  (resp.  $v_s$ ) est connectée au canal CH I (resp. CH II).



❓ Déterminer les expressions des signaux  $v_e$  et  $v_s$ . En déduire le gain d'amplification qu'on note  $g = \frac{V_{s_{\max}}}{V_{e_{\max}}}$ .

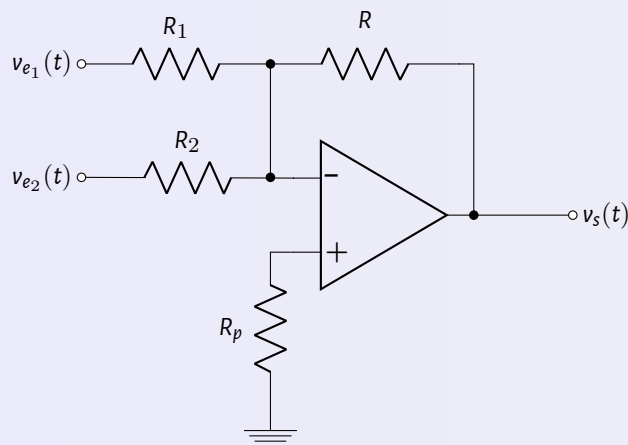


$$v_e(t) = V_{e_{\max}} \sin\left(\frac{2\pi}{T}t + \varphi_0\right) \quad \& \quad v_s(t) = -V_{s_{\max}} \sin\left(\frac{2\pi}{T}t + \varphi_0\right) \quad \text{avec :} \quad \begin{cases} V_{e_{\max}} = 3 \text{ volts} \\ V_{s_{\max}} = 6 \text{ volts} \\ T = 18 \text{ msec} \\ \varphi_0 \approx 1 \text{ rad} \end{cases}$$

$$g = 2$$

### Montage #3

### Amplificateur sommateur inverseur



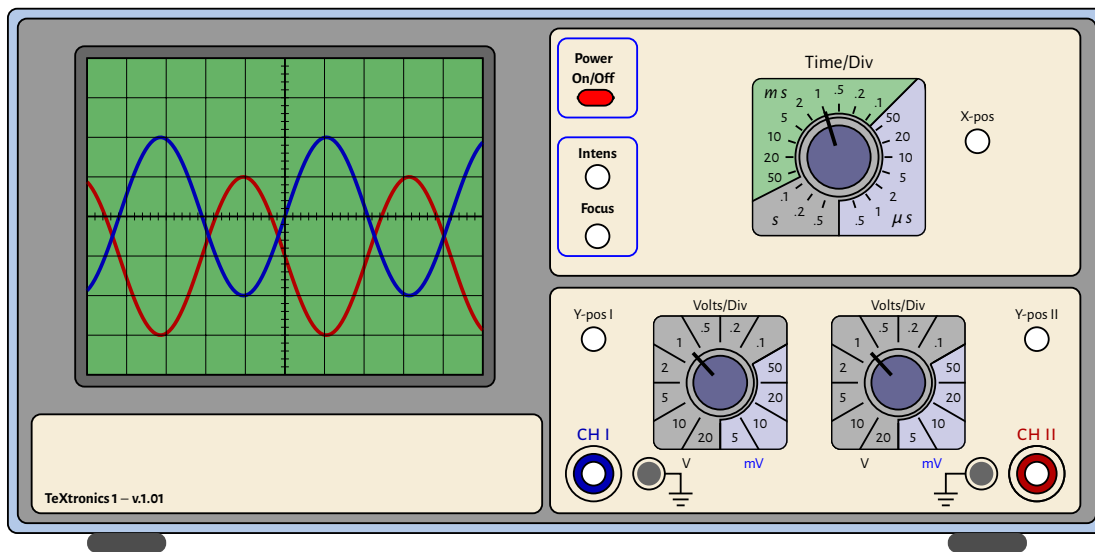
$$v_+ = 0$$

$$v_- = \frac{\frac{v_{e1}}{R_1} + \frac{v_{e2}}{R_2} + \frac{v_s}{R}}{\frac{1}{R_1} + \frac{1}{R_2} + \frac{1}{R}}$$

AOp idéal en régime linéaire  $\rightarrow v_+ = v_-$ . La tension de sortie  $v_s$  s'écrit alors :

$$v_s(t) = -R \left( \frac{1}{R_1} v_{e1}(t) + \frac{1}{R_2} v_{e2}(t) \right) \quad (3)$$

Soit  $v_{e1} = 1$  V. Pour une tension d'alimentation symétrique de  $\pm 10$  volts, les courbes d'évolution de l'entrée  $v_{e2}$  et de la sortie  $v_s$  sont affichées sur l'écran de l'oscilloscope ci-dessous<sup>3</sup>



Déterminer les expressions des signaux  $v_{e2}$  et  $v_s$ . En déduire un jeu de résistances qui permet d'avoir la sortie  $v_s$ .



$$v_e(t) = V_{e2\max} \sin\left(\frac{2\pi}{T}t + \varphi_0\right)$$

$$\& \quad v_s(t) = V_{s\max} \sin\left(\frac{2\pi}{T}t + \varphi_0\right)$$

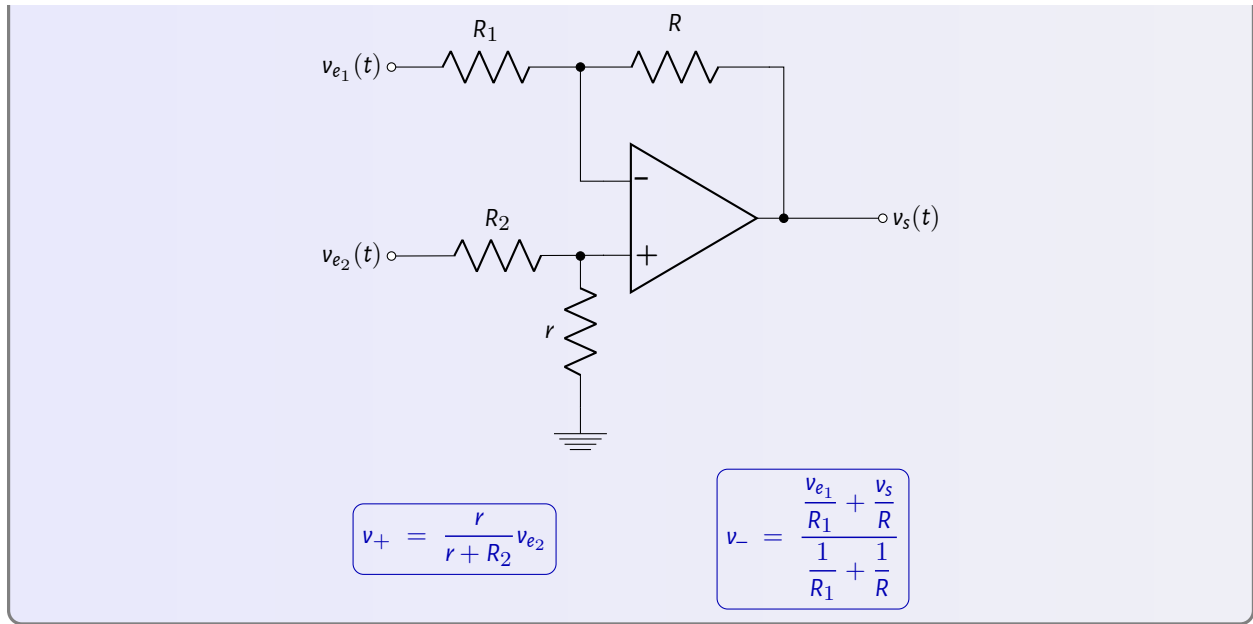
$$\text{avec : } \begin{cases} V_{e2\max} = 2 \text{ volts} \\ V_{s\max} = -1 \text{ volt} \\ T = 2.1 \text{ msec} \\ \varphi_0 = 0 \text{ rad} \end{cases}$$

$$R_1 = R_2 = R$$

#### Montage #4

#### Amplificateur soustracteur

3. La tension  $v_e$  (resp.  $v_s$ ) est connectée au canal CH I (resp. CH II).



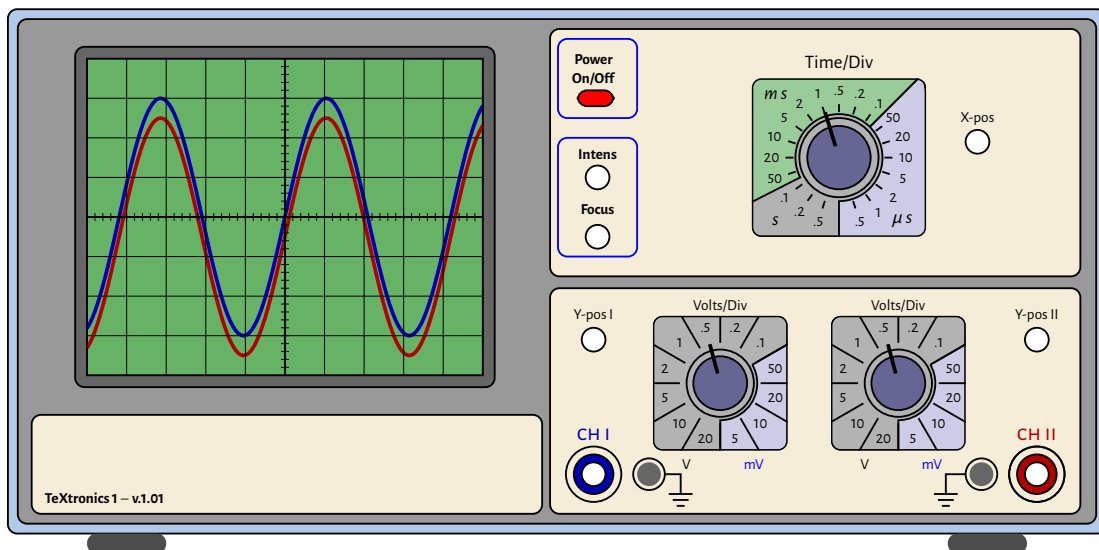
AOp idéal en régime linéaire  $\rightarrow v_+ = v_-$ . La tension de sortie  $v_s$  s'écrit alors :

$$v_s(t) = \frac{R_1 + R}{R_1} \left( \frac{r}{r + R_2} v_{e2}(t) - \frac{R}{R + R_1} v_{e1}(t) \right) \quad (4)$$

Si on prend  $r = R_1 = R_2 = R$ , la sortie se simplifie à la forme suivante

$$v_s(t) = v_{e2}(t) - v_{e1}(t) \quad (5)$$

Soit  $v_{e1} = 0.25$  V. Pour une tension d'alimentation symétrique de  $\pm 10$  volts, les courbes d'évolution de l'entrée  $v_{e2}$  et de la sortie  $v_s$  sont affichées sur l'écran de l'oscilloscope ci-dessous <sup>4</sup>



Déterminer les expressions des signaux  $v_{e2}$  et  $v_s$ .

4. La tension  $v_e$  (resp.  $v_s$ ) est connectée au canal CH I (resp. CH II).

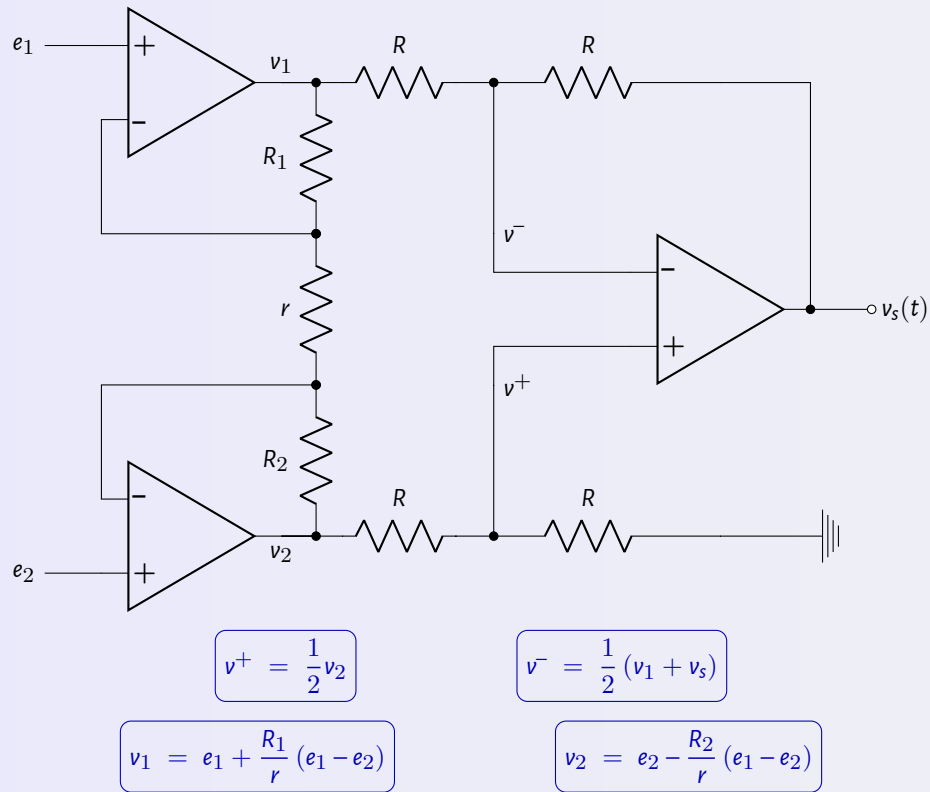


$$v_e(t) = V_{e2\max} \sin\left(\frac{2\pi}{T}t + \varphi_0\right) \text{ \& } v_s(t) = V_{\text{offset}} + V_{s\max} \sin\left(\frac{2\pi}{T}t + \varphi_0\right) \text{ avec : } \begin{cases} V_{e2\max} = 1.5 \text{ volts} \\ V_{\text{offset}} = -0.25 \text{ volt} \\ V_{s\max} = 1.5 \text{ volts} \\ T = 2.1 \text{ msec} \\ \varphi_0 = 0 \text{ rad} \end{cases}$$

$$R_1 = R_2 = R = r$$

Montage #5

## Amplificateur différentiel d'instrumentation



La relation  $v^+ = v^-$  conduit à

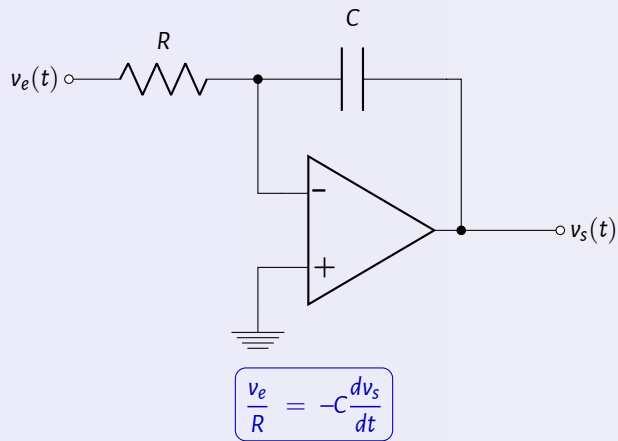
$$v_s(t) = v_2 - v_1 \quad (6)$$

$$= e_2 - \underbrace{\frac{R_2}{r}(e_1 - e_2)}_{v_2} - \left( e_1 + \underbrace{\frac{R_1}{r}(e_1 - e_2)}_{v_1} \right) \quad (7)$$

$$= \left( 1 + \frac{R_1 + R_2}{r} \right) (e_2 - e_1) \quad (8)$$



## Montage #6

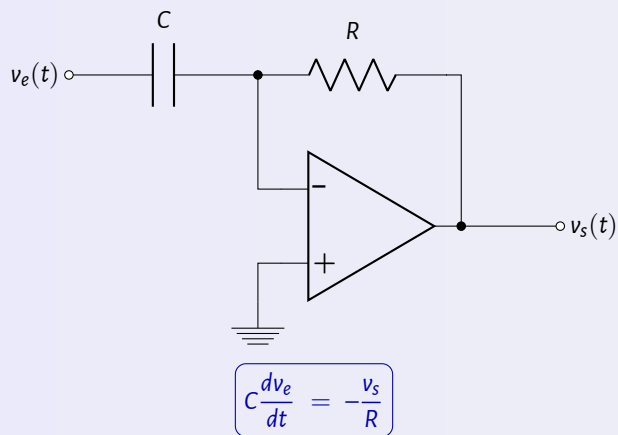
Amplificateur intégrateur<sup>a</sup>

a. En pratique, on insère une résistance  $10R$  en // avec  $C$ .

On en déduit que

$$v_s(t) = -\frac{1}{RC} \int v_e(\zeta) d\zeta \quad (9)$$

## Montage #7

Amplificateur dérivateur<sup>a</sup>

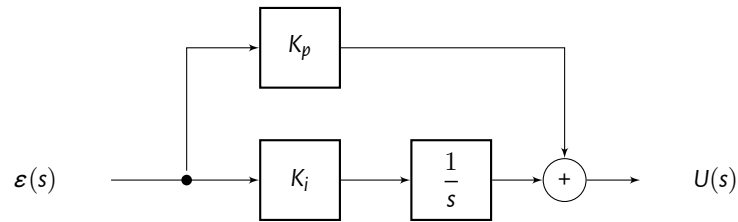
a. En pratique, on insère une résistance  $0.1R$  en série avec  $C$ .

Il en résulte que

$$v_s(t) = -RC \frac{dv_e(t)}{dt} \quad (10)$$

## Exercice

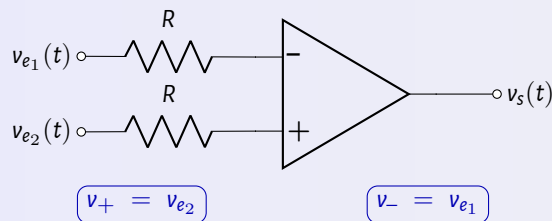
Proposer une structure à base d'amplificateurs pour réaliser le correcteur PI suivant



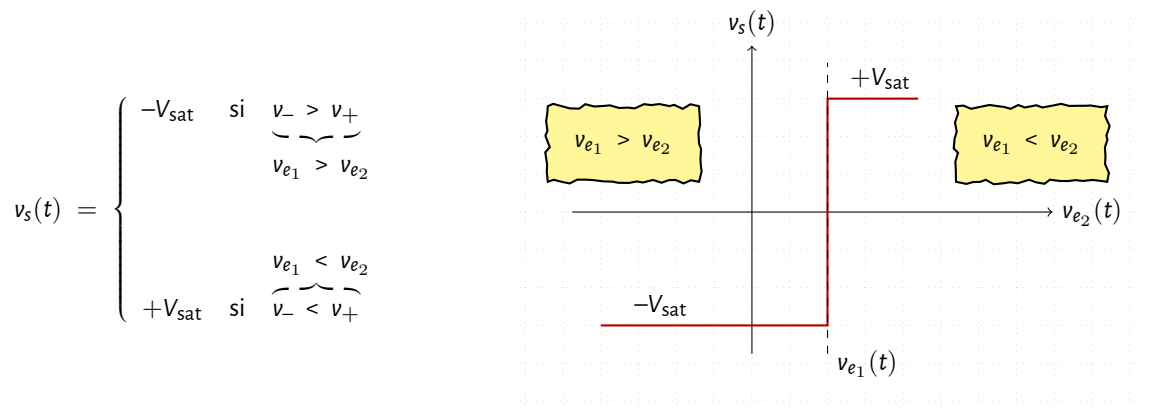
## 3 AOp en régime non linéaire

## Montage #8

## Comparateur simple

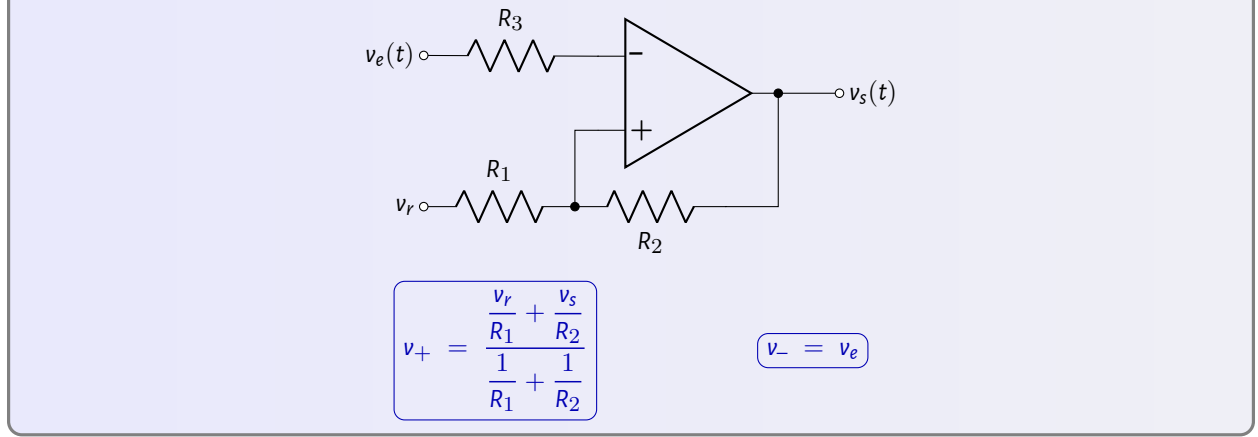


Il n'y a pas une contre-réaction. L'amplificateur fonctionne alors en régime de saturation. La sortie  $v_s$  prend uniquement les deux valeurs de saturation  $\pm V_{sat}$ .



## Montage #9

## Comparateur à hystérésis - Trigger de Schmitt



$$v_+ = \frac{R_2 v_r + R_1 v_s}{R_1 + R_2} \quad (11)$$

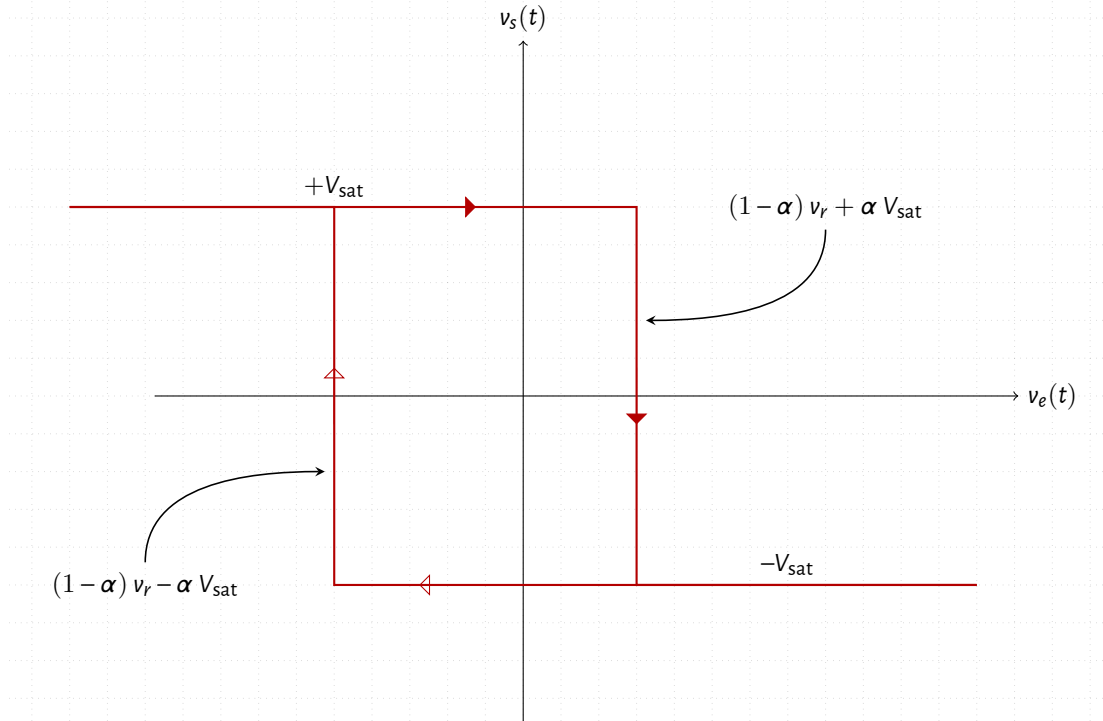
Soit  $\alpha = \frac{R_1}{R_1 + R_2}$ . Eq. (11) se transforme ainsi en

$$v_+ = \alpha v_r + (1 - \alpha) v_s$$

La contre-réaction est positive, la sortie de l'amplificateur ne peut prendre que les deux valeurs limites de saturation  $\pm V_{\text{sat}}$ . L'expression du potentiel de la borne positive devient

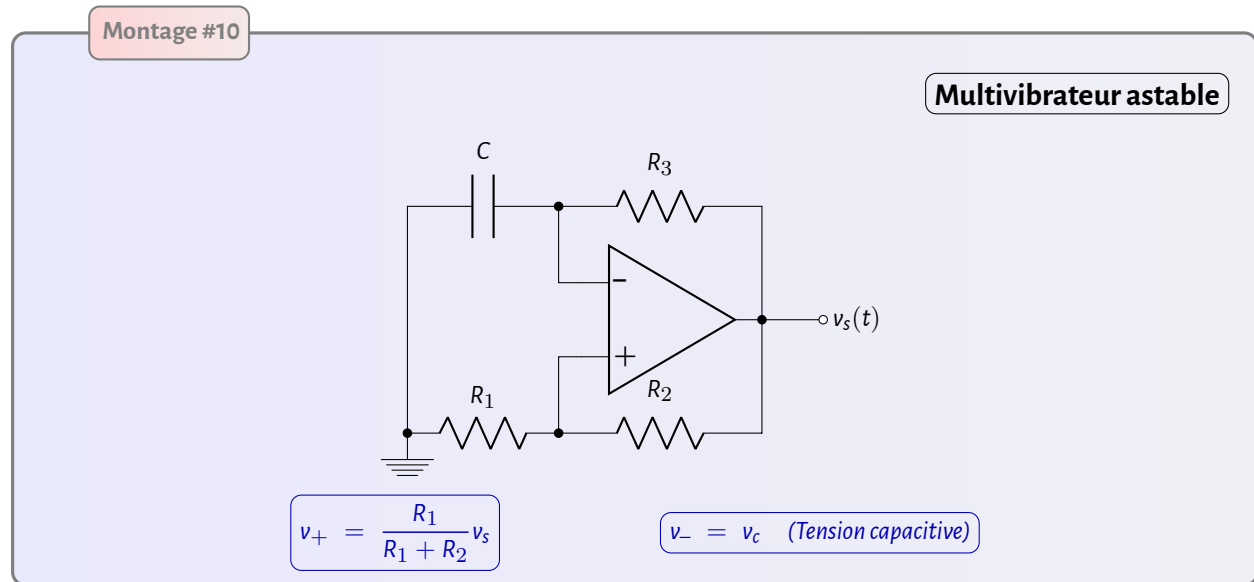
$$v_+ = \alpha v_r \pm (1 - \alpha) V_{\text{sat}}$$

Si  $v_e$  est très négatif, le potentiel  $v_+$  est supérieur à  $v_-$ . La sortie est à  $+V_{\text{sat}}$ . La valeur de  $v_+$  est  $\alpha v_r + (1 - \alpha) V_{\text{sat}}$ . Quand la tension d'entrée dépasse cette valeur,  $v_s$  passe à  $-V_{\text{sat}}$  et  $v_+$  devient égal à  $\alpha v_r - (1 - \alpha) V_{\text{sat}}$ . Le circuit présente deux seuils de basculements.



## 4 Générateur de fonctions

Un multivibrateur astable produit un signal carré à sa sortie. Il ne nécessite aucune entrée externe.



On suppose que le retour positif emporte sur la contre-réaction négative. L'AOp fonctionne alors en régime de saturation.

$$v_s(t) = \begin{cases} +V_{\text{sat}} & \text{si } v_+ > v_- = v_c \\ -V_{\text{sat}} & \text{si } v_+ < v_- = v_c \end{cases}$$

Soient  $\alpha = \frac{R_1}{R_1 + R_2}$  et  $\tau = R_3 C$ . Le problème se ramène à la formulation suivante

**1<sup>er</sup> cas : (C se charge à travers  $R_3$ )**

$$\text{si } v_s = +V_{\text{sat}} \implies v_+ = +\alpha V_{\text{sat}} \implies v_c = v_{i1} e^{-\frac{t-t_1}{\tau}} + V_{\text{sat}} \left( 1 - e^{-\frac{t-t_1}{\tau}} \right)$$

**2<sup>d</sup> cas : (C se décharge à travers  $R_3$ )**

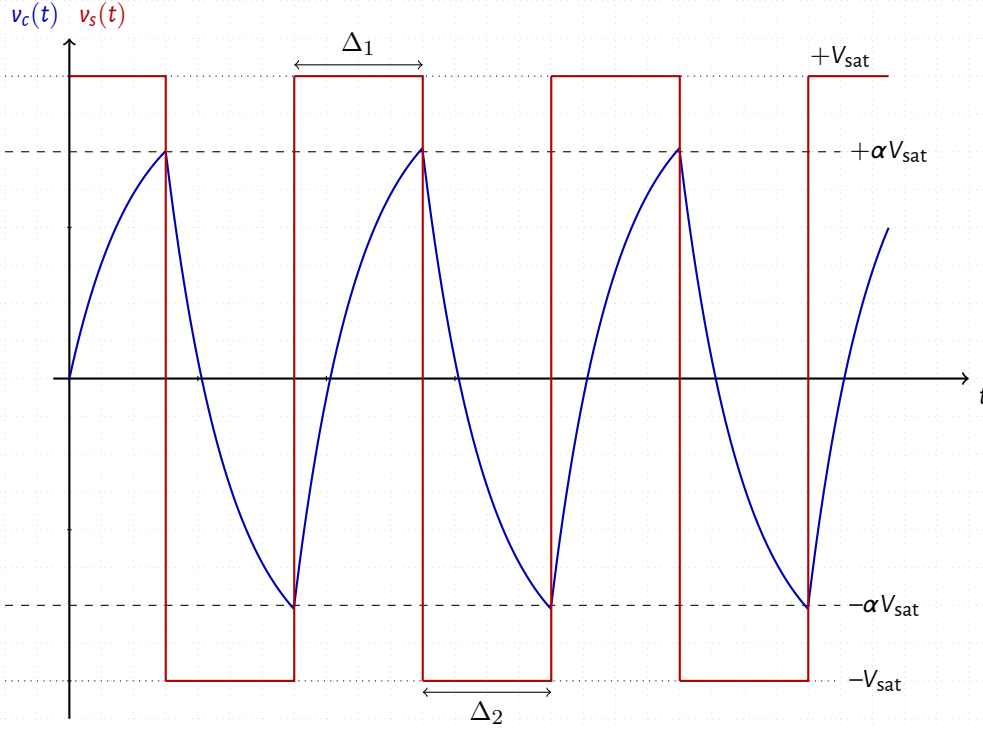
$$\text{si } v_s = -V_{\text{sat}} \implies v_+ = -\alpha V_{\text{sat}} \implies v_c = v_{i2} e^{-\frac{t-t_2}{\tau}} - V_{\text{sat}} \left( 1 - e^{-\frac{t-t_2}{\tau}} \right)$$

### Exercice

1. Tracer, sur la même figure, les allures des signaux  $v_c(t)$  et  $v_s(t)$ ;
2. Déterminer les durées  $\Delta_1$  et  $\Delta_2$ . En déduire la valeur de la période  $T$ .

## Correction

① On suppose la tension de sortie à cet instant  $t = 0$ . La borne non inverseuse est portée alors au potentiel  $+\alpha V_{\text{sat}}$ . À l'origine du temps, le condensateur initialement déchargé se met à se charger jusqu'à la valeur  $+\alpha V_{\text{sat}}$ . À ce stade, l'amplificateur voit sa borne inverseuse est portée à un potentiel supérieur à la borne positive. La sortie  $v_s$  change d'état en conséquence. Le condensateur se décharge ainsi à travers la résistance  $R_3$  jusqu'à atteindre  $-\alpha V_{\text{sat}}$ . La tension  $v_s$  bascule de nouveau vers  $+\alpha V_{\text{sat}}$ . Les courbes de la tension capacitive et de la tension de sortie sont présentées par la figure ci-dessous.



② Durant la charge du condensateur  $C$ , la tension à ses bornes s'écrit sous la forme suivante<sup>5</sup> :

$$v_c(t) = -\alpha V_{\text{sat}} e^{-\frac{t}{\tau}} + V_{\text{sat}} \left( 1 - e^{-\frac{t}{\tau}} \right)$$

On peut établir la relation

$$+\alpha V_{\text{sat}} = -\alpha V_{\text{sat}} e^{-\frac{\Delta_1}{\tau}} + V_{\text{sat}} \left( 1 - e^{-\frac{\Delta_1}{\tau}} \right)$$

Soit encore

$$\alpha = -\alpha e^{-\frac{\Delta_1}{\tau}} + \left( 1 - e^{-\frac{\Delta_1}{\tau}} \right)$$

$$1 - \alpha = e^{-\frac{\Delta_1}{\tau}} (1 + \alpha)$$

5. Moyennant un changement d'échelle

Il en résulte que

$$\Delta_1 = \tau \ln \left( \frac{1+\alpha}{1-\alpha} \right).$$

De même, on démontre que

$$\Delta_2 = \tau \ln \left( \frac{1+\alpha}{1-\alpha} \right).$$

En effet, durant la décharge du condensateur, la tension  $v_c$  obéit à l'expression

$$v_c(t) = \alpha V_{\text{sat}} e^{-\frac{t}{\tau}} - V_{\text{sat}} \left( 1 - e^{-\frac{t}{\tau}} \right)$$

Pour  $t = \Delta_2$ ,

$$-\alpha V_{\text{sat}} = \alpha V_{\text{sat}} e^{-\frac{\Delta_2}{\tau}} - V_{\text{sat}} \left( 1 - e^{-\frac{\Delta_2}{\tau}} \right)$$

Après simplification par  $V_{\text{sat}}$ , on obtient

$$\begin{aligned} -\alpha &= \alpha e^{-\frac{\Delta_1}{\tau}} - \left( 1 - e^{-\frac{\Delta_2}{\tau}} \right) \\ 1 - \alpha &= e^{-\frac{\Delta_2}{\tau}} (1 + \alpha) \end{aligned}$$

D'où

$$\Delta_2 = \tau \ln \left( \frac{1+\alpha}{1-\alpha} \right)$$

La période d'oscillation de la sortie est égale la somme de  $\Delta_1$  et de  $\Delta_2$

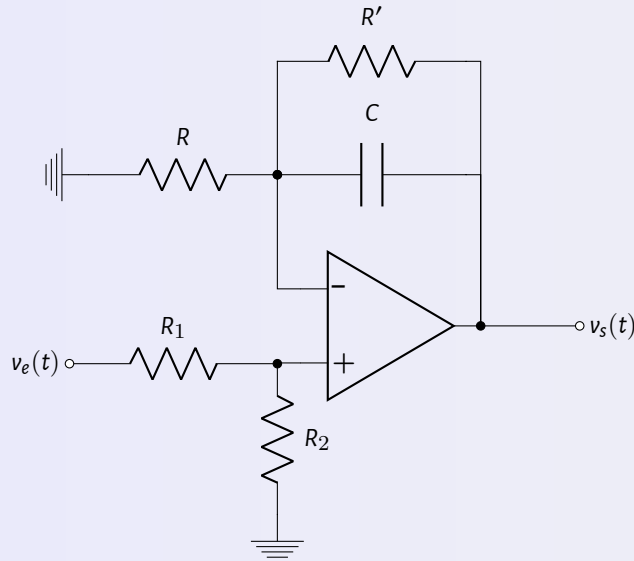
$$\begin{aligned} T &= \Delta_1 + \Delta_2 \\ &= 2 \tau \ln \left( \frac{1+\alpha}{1-\alpha} \right), \quad \text{avec} \quad \alpha = \frac{R_1}{R_1 + R_2} \\ &= 2 \tau \ln \left( \frac{2R_1 + R_2}{R_2} \right) \\ &= 2 \tau \ln \left( 1 + 2 \frac{R_1}{R_2} \right) \end{aligned} \tag{12}$$

## 5 Filtre actif

Un filtre actif est une forme de circuit analogique mettant en œuvre un filtre électronique utilisant des composants actifs, généralement un amplificateur.

Outre la possibilité de contrôler le gain d'amplification, la présence d'un amplificateur préserve les propriétés du filtre. Elle permet de maintenir les caractéristiques du circuit indépendamment de la charge.

Montage #11



$$v_+ = \frac{R_2}{R_1 + R_2} \mathcal{V}_e$$

$$v_- = \frac{R}{R + R' // Z_c} \mathcal{V}_s, \text{ avec } Z_c = \frac{1}{jC\omega}$$

## Exercice

1. Démontrer que la fonction de transfert harmonique s'écrit comme suit

$$\begin{aligned} \mathcal{H}(j\omega) &= \frac{\mathcal{V}_s(j\omega)}{\mathcal{V}_e(j\omega)} \\ &= \frac{R_2}{R_1 + R_2} \frac{R + R'}{R} \frac{1 + j \frac{RR'C}{R + R'}}{1 + jR'C\omega} \end{aligned} \quad (13)$$

2. Soit  $R' = 10 \times R$ . Mettre l'expression de  $\mathcal{H}$  comme indiquée par Eq. (14). Identifier ainsi  $K$  et  $\tau$ .

$$\mathcal{H}(j\omega) = K \frac{1 + \frac{1}{11} j\tau\omega}{1 + j\tau\omega}. \quad (14)$$

3. On pose  $R_1 = R_2 = 2.2 \text{ k}\Omega$ ,  $R = 10 \text{ k}\Omega$ ,  $R' = 100 \text{ k}\Omega$  et  $C = 10 \mu\text{F}$ . Esquisser les diagrammes de Bode (Gain et phase). Nous rappelons les expressions suivantes :

$$\mathcal{G}_{\text{dB}} = 20 \log_{10} \{|\mathcal{H}(j\omega)|\} \quad \text{et} \quad \angle \mathcal{H}(j\omega) = \text{atan} \left( \frac{1}{11} \tau\omega \right) - \text{atan}(\tau\omega)$$

## Correction

- ① AOOp idéal en régime linéaire  $\rightarrow v_+ = v_-$ .

$$\frac{R_2}{R_1 + R_2} \mathcal{V}_e = \frac{R}{R + R' // Z_c} \mathcal{V}_s$$

Le quotient  $\mathcal{H}(j\omega)$  s'écrit

$$\begin{aligned}\mathcal{H}(j\omega) &= \frac{R_2}{R_1 + R_2} \frac{R + \frac{R'Z_c}{R' + Z_c}}{R} \\ &= \frac{R_2}{R_1 + R_2} \frac{R + \frac{R'}{1 + jR'C\omega}}{R} \\ \mathcal{H}(j\omega) &= \frac{R_2}{R_1 + R_2} \frac{R + R' \frac{1 + j\frac{RR'C}{R + R'}\omega}{1 + jR'C\omega}}{R}\end{aligned}$$

② Dans le cas où  $R' = 10 \times R$ , la fonction  $\mathcal{H}$  se transforme en

$$\begin{aligned}\mathcal{H}(j\omega) &= 11 \frac{R_2}{R_1 + R_2} \frac{1 + j\frac{1}{11}R'C\omega}{1 + jR'C\omega} \\ &= K \frac{1 + j\frac{1}{11}\tau\omega}{1 + j\tau\omega},\end{aligned}$$

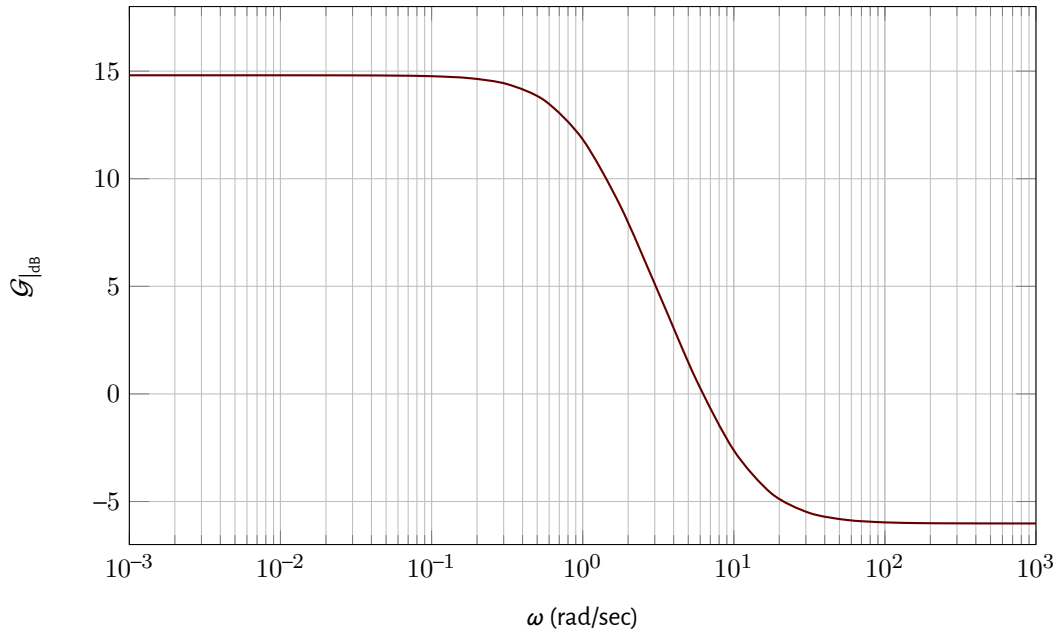
avec

$$K = 11 \frac{R_2}{R_1 + R_2} \quad \text{et} \quad \tau = R'C$$

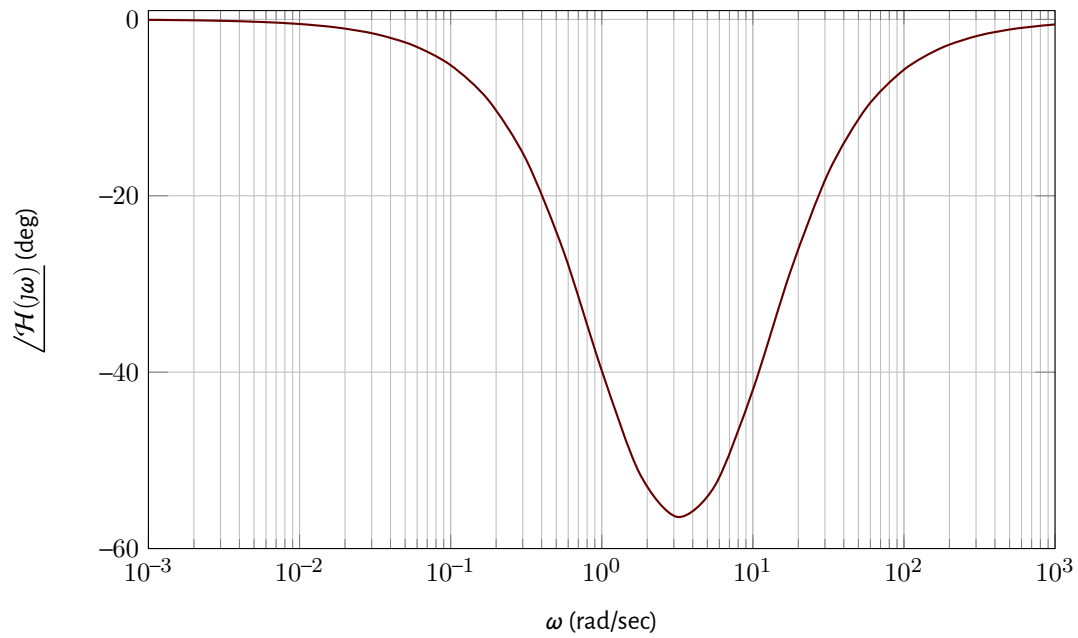
③ En mettant à jour les termes  $K$  et  $\tau$ , on obtient

$$K = 5.5 \quad \text{et} \quad \tau = 1 \text{ sec}$$

Les diagrammes de Bode sont illustrés par les graphiques ci-dessous







## Références

- [AB19] ABRAHAM, HENRI et BLOCH, EUGÈNE. "Mesure en valeur absolue des périodes des oscillations électriques de haute fréquence". Dans : *Journal de Physique Théorique et Appliquée* 9.1 (1919), pp. 211-222. DOI : [10 . 1051 / jphysap : 019190090021100](https://doi.org/10.1051/jphysap:019190090021100).
- [Cla13] G. B. CLAYTON. *Operational Amplifiers*. Butterworth-Heinemann, 2013.
- [Lan75] D. E. LANCASTER. *Active-Filter Cookbook*. Macmillan Pub Co, 1975.
- [Mah17] K. MAHER. *Electronique : Vol1 Amplificateur Opérationnel et Applications (PU Polytec Rom)*. PU Polytechnique, 2017.
- [Ras10] M. H. RASHID. *Microelectronic Circuits : Analysis & Design*. CL Engineering, 2010.